

## О ФИЛАМЕНТАЦИИ ЛАЗЕРНОГО ИЗЛУЧЕНИЯ В ПЛАЗМЕ

А.А. Андреев, А.А. Зозуля, А.В. Сутягин, В.Т. Тихончук

Исследована филаментация встречных волн в слое нелинейной среды с отражающей задней границей. Показано, что этот процесс является абсолютной параметрической неустойчивостью. Применительно к лазерной плазме даны оценки порога и характерного масштаба филаментации.

В экспериментах по воздействию лазерного излучения на плазму наблюдается самофокусировка и расслоение (филаментация) лазерного луча. Объяснение этого явления на основе традиционных представлений о самофокусировке как конвективной параметрической неустойчивости иногда затруднено тем, что возникающая при таких оценках длина самофокусировки оказывается порядка или больше характерного размера лазерной плазмы.

В настоящей работе показано, что наличие отраженной от плотных слоев плазмы компоненты падающего излучения может приводить к значительному снижению порога самофокусировки, изменению характера неустойчивости с конвективного на абсолютный. Подобный эффект когерентного параметрического взаимодействия волн для случая вынужденного рассеяния рассматривался в работе /1/, а применительно к тепловой самофокусировке излучения в ионосферной плазме – в работах /2,3/.

В лазерной плазме характерный масштаб расслоения оказывается меньше длины свободного пробега электронов. При этом более важную роль в процессе самофокусировки и филаментации света играет рассмотренная ниже стрикционная нелинейность.

Пусть в слое нелинейной среды  $0 < x < l$  с диэлектрической проницаемостью  $\epsilon = n^2(1 + n_2|E|^2)$  распространяются навстречу друг другу две электромагнитные линейно-поляризованные вдоль оси  $z$  волны накачки на частоте  $\omega_0$ . Полное электрическое поле в среде представим в виде

$$E_z(r,t) = \frac{1}{2} \sum_{\sigma=\pm 1} (E_{0\sigma} e^{ik_{oy}y} + E_{-1\sigma} e^{ik_y y + i\omega t} + E_{1\sigma} e^{i(2k_{oy} - k_y)y - i\omega t}) \times \\ \times \exp[i\sigma k_0 x(1 - k_{oy}^2/2k_0^2 + \frac{1}{2} n_2 (|E_{0\sigma}|^2 + 2|E_{-1\sigma}|^2))] e^{-i\omega_0 t} + \text{к.с.}$$

Здесь индекс  $\sigma = \pm 1$  обозначает волны, бегущие вдоль оси  $x$  ( $\sigma = 1$ ) и в противоположном направлении ( $\sigma = -1$ );  $E_{0\sigma}$  – амплитуды волн накачки;  $E_{\pm 1\sigma}$  – амплитуды возбуждаемых волн на частотах  $\omega_0 \mp \omega$ ;  $k_0 = n\omega_0/c$ ;  $k_{oy} \ll k_0$  – перпендикулярная оси  $x$  компонента волнового вектора  $\vec{k}_0$ ;  $k_y$  – перпендикулярная оси  $x$  компонента волнового вектора возмущений. Из уравнений Максвелла получаем следующие укороченные уравнения для амплитуд возмущений:

$$(\sigma \frac{d}{dx} + i(q - p) - \frac{i}{2} k_0 n_2 |E_{0\sigma}|^2) E_{1\sigma} = ik_0 n_2 (E_{0\sigma} E_{0-\sigma} E_{-1-\sigma}^* + E_{0\sigma} E_{0-\sigma}^* E_{1-\sigma} + \frac{1}{2} E_{0\sigma}^2 E_{-1\sigma}^*), \\ (1)$$

$$(\sigma \frac{d}{dx} - i(q + p) + \frac{i}{2} k_0 n_2 |E_{0\sigma}|^2) E_{-1\sigma}^* = -ik_0 n_2 (E_{0\sigma}^* E_{0-\sigma}^* E_{1-\sigma} + E_{0\sigma}^* E_{0-\sigma} E_{-1-\sigma}^* + \frac{1}{2} E_{0\sigma}^2 E_{1\sigma}),$$

где  $q = (k_y - k_{oy})^2/2k_0$ ,  $p = n\omega/c - k_{oy}(k_{oy} - k_y)/k_0$ .

Для случая антипараллельных накачек ( $k_{oy} = 0$ ) система (1) исследовалась ранее /4–7/ в предположении нулевых амплитуд входящих волн  $E_{\pm 11}(0) = E_{\pm 1-1}(l) = 0$ . Для случая волн накачки одинаковой интенсивности  $|E_{01}| = |E_{0-1}| = |E_0|$  при  $\omega = 0$  в работе /4/ было показано, что для  $|q| \gg 1$  порог абсолютной неустойчивости не зависит от угла распространения возбуждаемых волн и определяется условием

$$B = k_0 n_2 |E_0|^2 l = \pi/2. \\ (2)$$

Применительно к лазерной плазме представляет интерес задание граничных условий, отвечающих отражению (с коэффициентом  $r$ ) всех электромагнитных волн от задней границы слоя нелинейной среды:

$$E_{01} = E_0, \quad E_{\pm 11}(0), \quad E_{\mu, -1}(l) = r e^{i\varphi} E_{\mu, 1}(l), \quad \mu = 0, -1. \quad (3)$$

Для случая нормального падения волны накачки ( $k_{oy} = 0$ ) и 100%-го отражения ( $r = 1$ ) из системы (1) для  $\omega = 0$  получаем следующее дисперсионное уравнение для порога абсолютной неустойчивости:

$$(k_2 - k_1) \cos(k_2 + k_1)l + (k_2 + k_1) \cos(k_2 - k_1)l = 0, \quad (4)$$

где  $k_1 = (q^2 - 3qB/l)^{1/2}$ ,  $k_2 = (q^2 + qB/l)^{1/2}$ .

Зависимость пороговой интенсивности волны накачки от масштаба филаментации (направления распространения возбуждаемых волн) приведена на рис. 1. Набор кривых отвечает различным модам филаментации. В частности, для мелкомасштабной филаментации ( $ql \gg 3B$ ) из уравнения (4) следует  $\cos 2B = 0$ , т. е.  $B_\infty = \pi/4$ . Поэтому так же, как и в случае отсутствия отражения для возбуждаемых волн, при больших углах распространения порог филаментации не зависит от  $q$ , но оказывается вдвое меньше, чем (2). Порог крупномасштабной филаментации возрастает ( $B \sim q^{-1}$ ) при  $ql \ll B$ . Минимальный порог филаментации и оптимальный масштаб определяются соотношениями  $B_{N\min} = (\pi/4\sqrt{3})(2N+1)$ ,  $q_N = (\sqrt{3}\pi/4l)(2N+1)$ , где  $N \geq 0$  – целое. Отметим, что с ростом номера моды минимальные пороги филаментации смещаются в область малых масштабов (больших  $q$ ), чего не происходит в случае нулевых граничных условий для возбуждаемых волн /6,7/.

Для основной моды ( $N = 0$ ) минимальный порог и характерный масштаб филаментации определяются условиями:

$$B_0 = k_0 n_2 |E_0|^2 l = \pi/4\sqrt{3} \approx 0,45, \quad k^2 l/k_0 = \sqrt{3}\pi/2 \approx 2,72. \quad (5)$$

В пределе малого коэффициента отражения  $r \ll 1$ , имея в виду слабую зависимость  $B$  от  $q$  при  $ql > B$ , остановимся на случае  $ql \gg p_l, B$ . Порог абсолютной неустойчивости при этом определяется соотношениями

$$\cos Br = 0, \quad p = \mp B(1 - r^2)/4l. \quad (6)$$

Отсюда следует, что для антипараллельных накачек при  $k_{oy} = 0$  возможно рассеяние только со смещением частоты  $\omega \neq 0$ . В случае наклонного падения волны накачки ( $k_{oy} \neq 0$ ) из (6) следует возможность неустойчивости с  $\omega = 0$ , для которой необходимые начальные возмущения могут вноситься самим пучком накачки. Масштаб расслоения определяется при этом формулами (6).

Приведем оценки порогов абсолютной филаментации в лазерной плазме со струкционной нелинейностью, когда  $n_2 = n_e/16\pi n_c \kappa_B T(n_c - n_e)$  ( $n_e$  – плотность плазмы;  $n_c$  – критическая плотность;  $T$  –

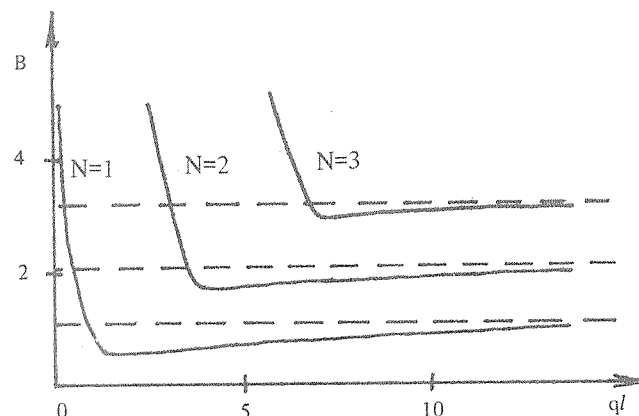


Рис. 1. Зависимость порога абсолютной филаментационной неустойчивости от масштаба расслоения (толщины плазменного слоя);  $N$  – номер возбуждаемой моды. Штриховые линии – асимптоты порогов при  $ql \rightarrow \infty$ .

температура;  $\kappa_B$  — постоянная Больцмана). При плотности потока энергии неодимового лазера (длина волны 1 мкм)  $10^{13}$  Вт/см<sup>2</sup> и температуре плазмы 300 эВ пороговая толщина слоя плазмы с плотностью  $n_e = 0,5n_c$  согласно (5) составляет около 20 мкм, а масштаб расслоения вдоль оси у порядка 6 мкм.

В заключение проведем сравнение найденных порогов абсолютной филаментационной неустойчивости с порогами конвективной филаментации. В слабостолкновительной плазме, когда затухание электромагнитной волны мало, т. е.  $\tau = (\nu l/c) (n_e/n_c) (1 - n_e/n_c)^{-1/2} \ll 1$  (здесь  $\nu$  — частота столкновений), при конвективной филаментации наиболее быстро нарастают пространственные возмущения, для которых  $q = B/2l$ . На длине  $l$  их интенсивность возрастает в  $\exp B$  раз. Примем в качестве порога конвективной филаментации значение  $B = 4$  (при этом интенсивность начальных возмущений в волне накачки усиливается примерно в 50 раз). Сравнение этой величины с пороговым значением коэффициента  $B$ , даваемым формулой (5), показывает, что в слабостолкновительной плазме порог абсолютной филаментации примерно на порядок ниже порога конвективной. С другой стороны, в условиях сильного затухания электромагнитных волн  $\tau \gg 1$  порог абсолютной филаментации, согласно (6), возрастает пропорционально  $1/\tau \sim \exp(2\tau)$ . Порог конвективной филаментации в этих условиях пропорционален  $\tau$ . Поэтому в случае сильностолкновительной плазмы конвективная филаментационная неустойчивость имеет более низкий порог.

Из приведенных оценок следует, что филаментация носит конвективный характер при взаимодействии излучения с низкотемпературной плазмой с большими характерными масштабами, когда эффекты столкновительного поглощения существенны. В противоположном случае высоких температур и малых пространственных размеров имеет место абсолютная филаментационная неустойчивость.

#### ЛИТЕРАТУРА

1. Zozulya A. A., Silin V. P., Tikhonchuk V. T. Phys. Lett. A, **99**, 224 (1983).
2. Perkins F.W., Valeo E.J. Phys. Rev. Lett., **32**, 1234 (1974).
3. Васьков В.В., Гуревич А.В. Геомагнетизм и аэрономия, **16**, 50 (1976).
4. Yarin A. IEEE J. Quant. Electr., QE-14, 650 (1978).
5. Marburger J.H., Lam J.F. Appl. Phys. Lett., **35**, 249 (1979).
6. Власов С.Н., Таланов В.И. В сб. Обращение волнового фронта оптического излучения в нелинейных средах, Горький, изд. ИПФ АН СССР, с. 85.
7. Власов С.Н., Шейнина Е.В. Изв. ВУЗов Радиофизика, **26**, 20 (1983).

Поступила в редакцию 15 октября 1985 г.